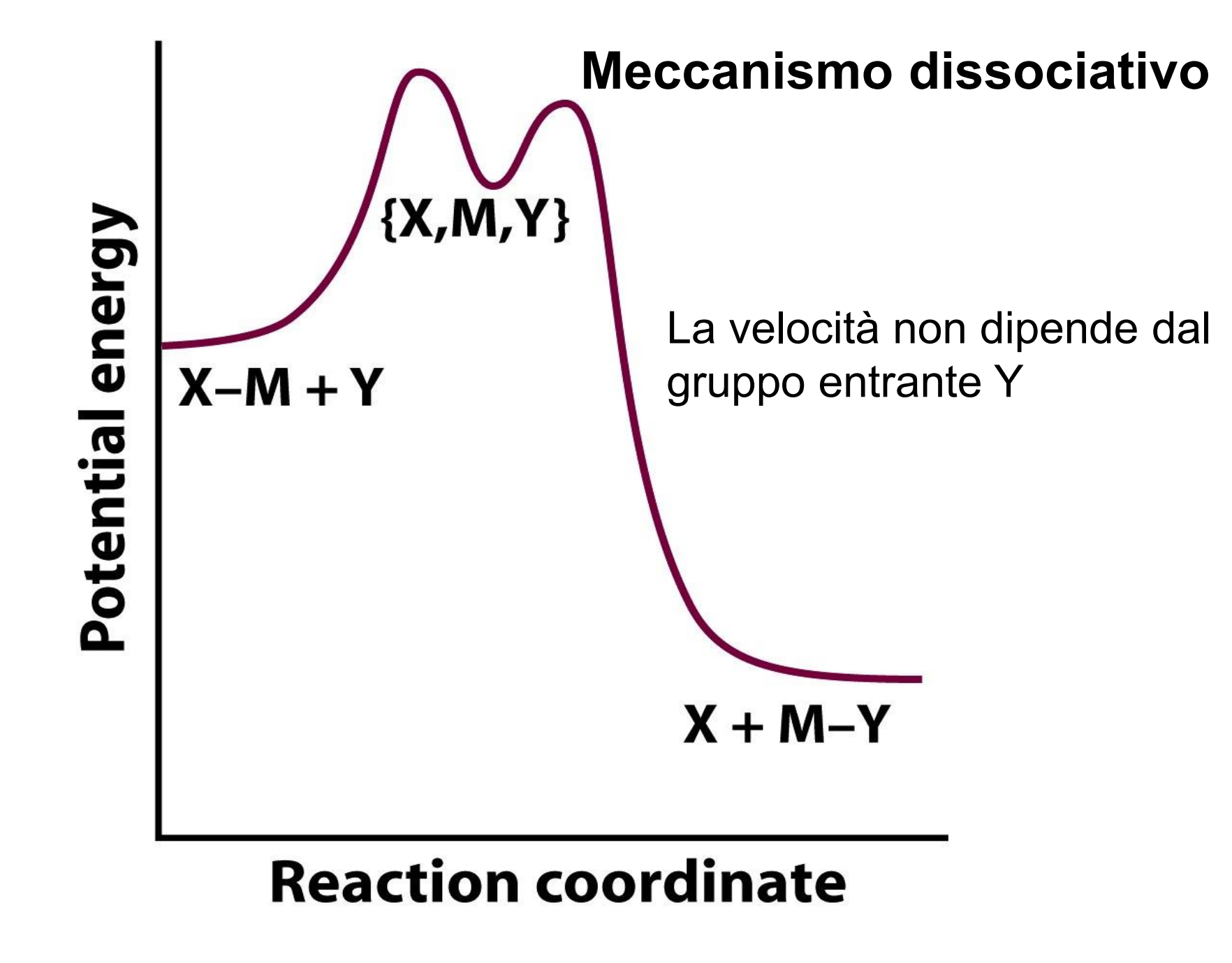
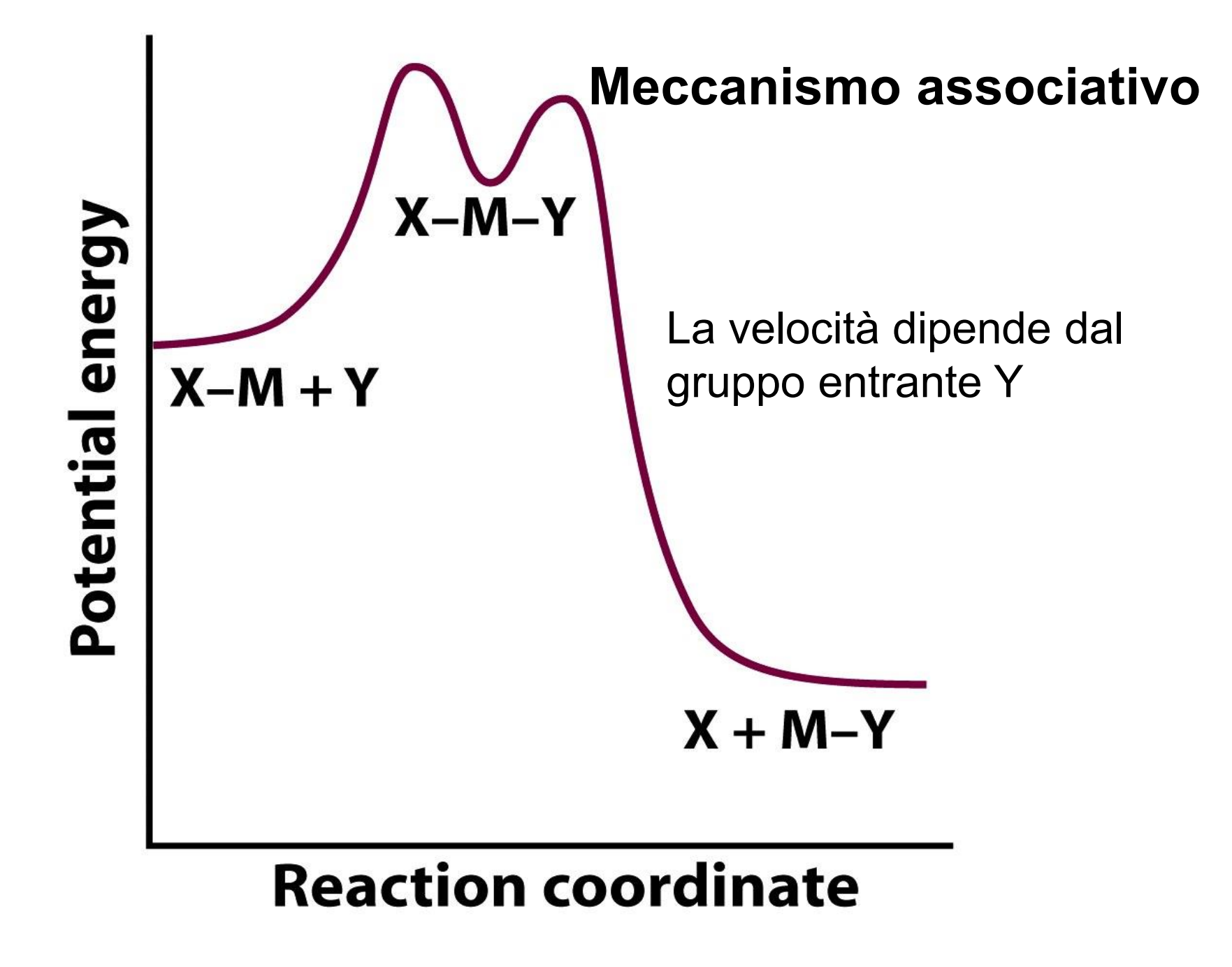
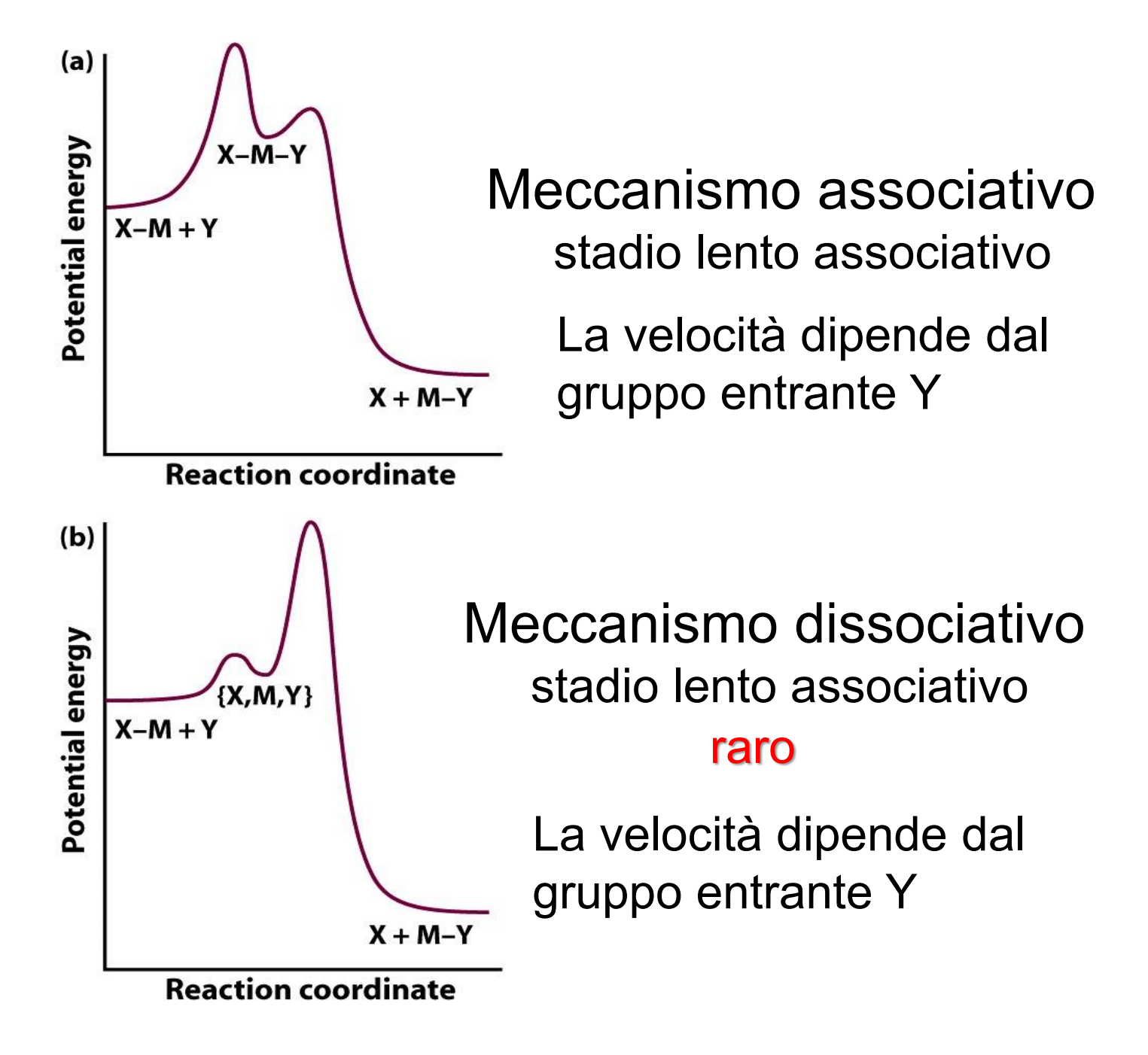
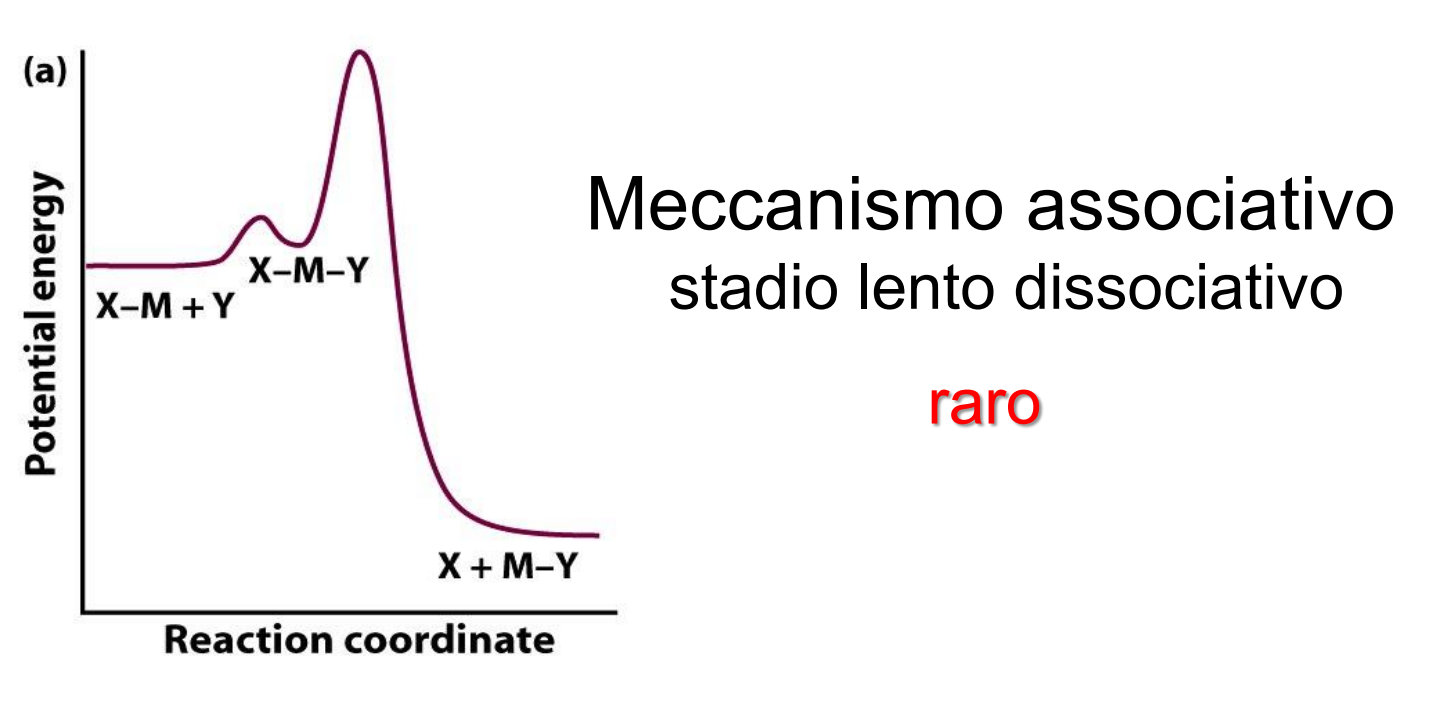


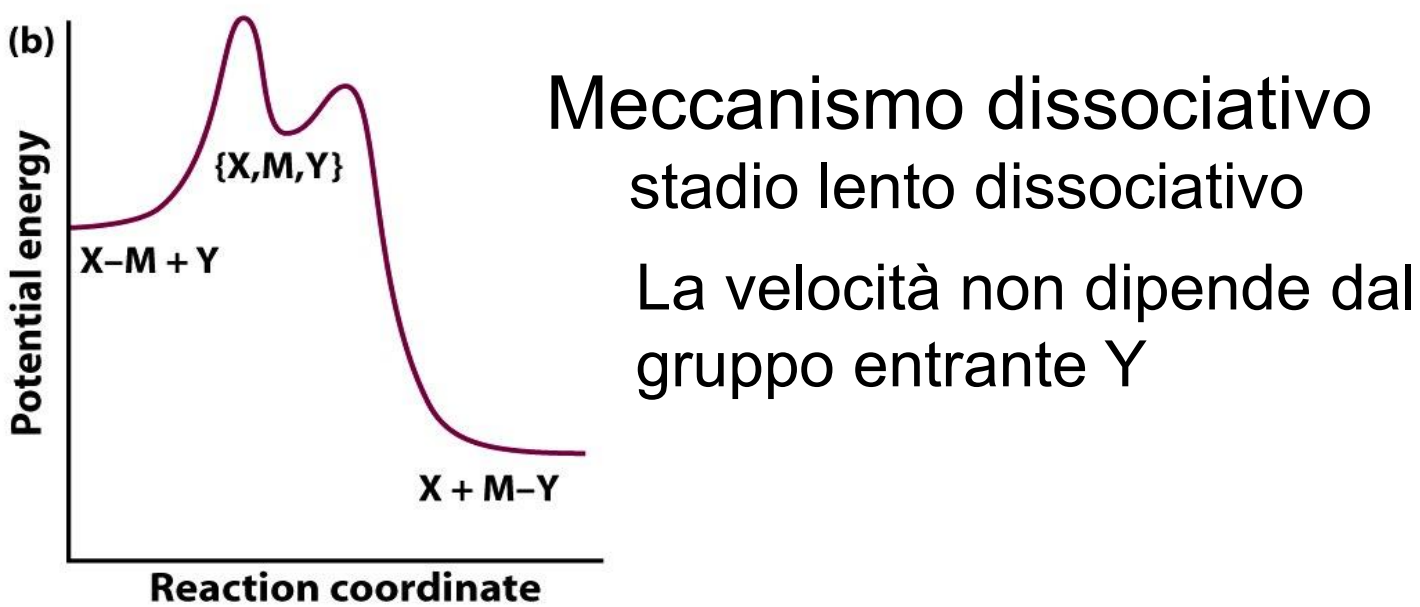
[Hg(CN)<sub>4</sub>]<sup>2-</sup> vs [Fe(CN)<sub>6</sub>]<sup>4-</sup>
il complesso di Hg ha costante di formazione più alta di quello di Fe, ma è più labile

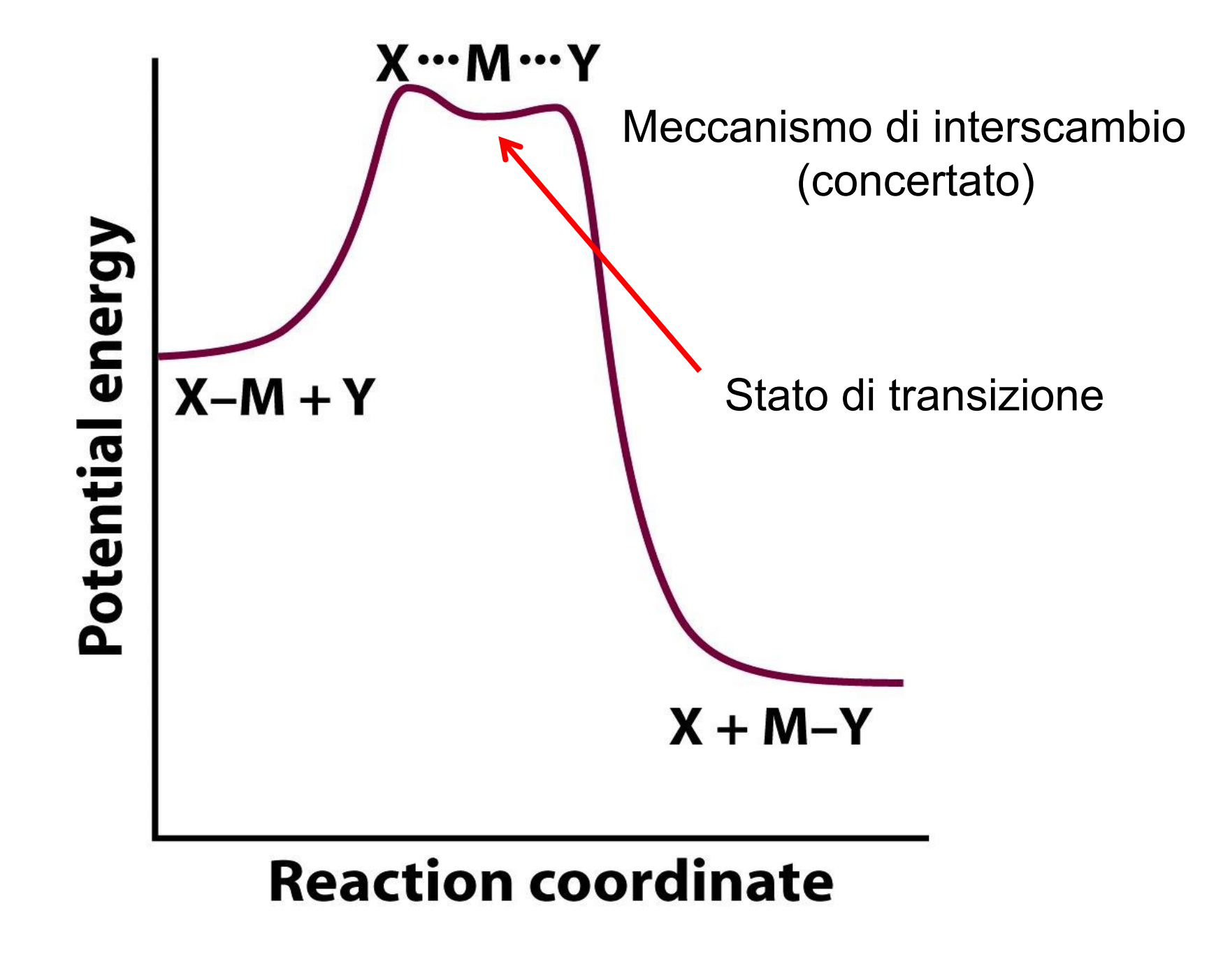




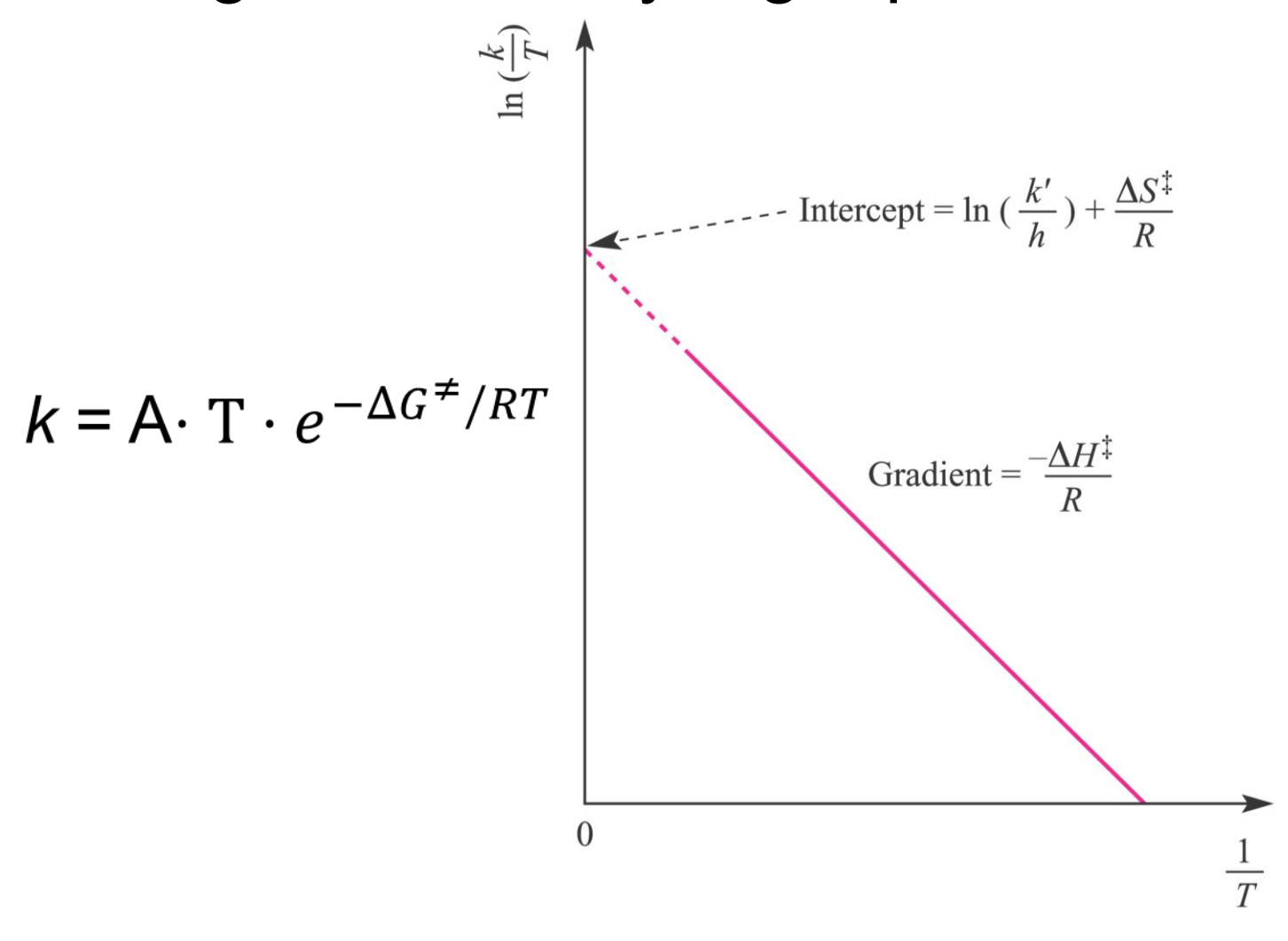








### Diagramma di Eyring e parametri di attivazione



$$ln(k/T) = lnA - \Delta H^{\neq}/RT + \Delta S^{\neq}/R$$

# Se ∆S<sup>#</sup> è <u>ampiamente</u> negativo → **meccanismo associativo**

$$d(\ln k)/dP = -\Delta V^{\neq}/RT$$
  
  $\Delta V^{\neq} = \text{volume di attivazione}$ 

 $\Delta V^{\neq}$  « 0  $\rightarrow$  meccanismo associativo  $\Delta V^{\neq}$  » 0  $\rightarrow$  meccanismo dissociativo

# Sostituzioni su complessi planari quadrati

Reactants	$\Delta H^{\ddagger} / \mathrm{kJ}  \mathrm{mol}^{-1}$	$\Delta S^{\ddagger} / \operatorname{J} \operatorname{K}^{-1} \operatorname{mol}^{-1}$	$\Delta V^{\ddagger} / \mathrm{cm}^{3}  \mathrm{mol}^{-1}$
$\begin{aligned} &[Pt(dien)Cl]^+ + H_2O \\ &[Pt(dien)Cl]^+ + [N_3]^- \\ &\textit{trans-}[PtCl_2(PEt_3)_2] + py \\ &\textit{trans-}[PtCl(NO_2)(py)_2] + py \end{aligned}$	+84	-63	-10
	+65	-71	-8.5
	+14	-25	-14
	+12	-24	-9

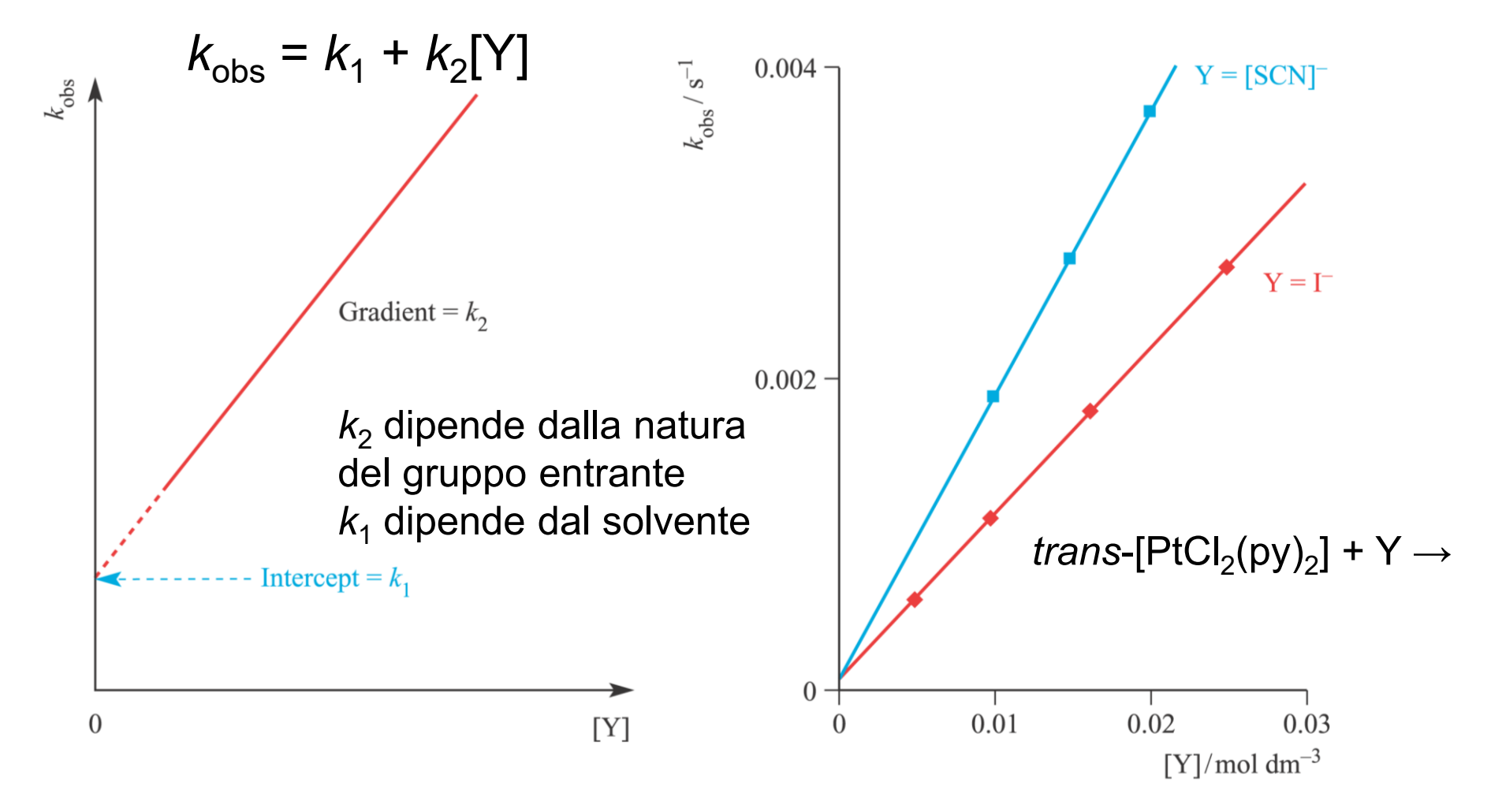
Meccanismo di tipo A o  $I_a$ 

Le costanti cinetiche per la sostituzione di Cl<sup>-</sup> con H<sub>2</sub>O in

[PtCl<sub>4</sub>]<sup>2-</sup>, [PtCl<sub>3</sub>(NH<sub>3</sub>)]<sup>-</sup>, [PtCl<sub>2</sub>(NH<sub>3</sub>)<sub>2</sub>], [PtCl(NH<sub>3</sub>)<sub>3</sub>]<sup>+</sup>

sono tutte molto simili

Meccanismo di tipo associativo

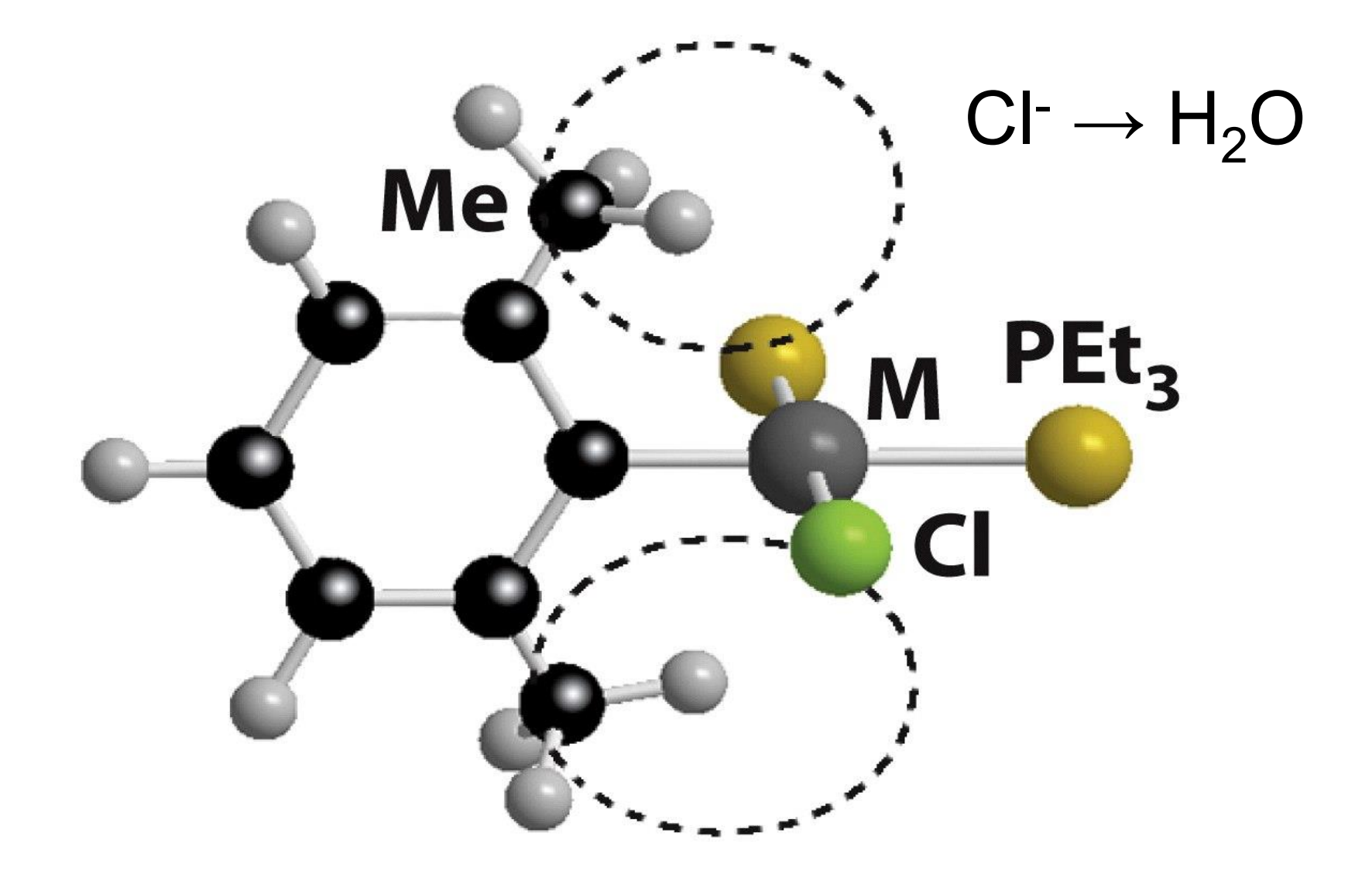


 $\text{PtL}_{3}\mathsf{X} + \mathsf{Y} \to \text{PtL}_{3}\mathsf{Y} + \mathsf{X}$  equazione cinetica **sperimentale**  $v = -\mathsf{d}[\text{PtL}_{3}\mathsf{X}]/\mathsf{dt} = k_{1}[\text{PtL}_{3}\mathsf{X}] + k_{2}[\text{PtL}_{3}\mathsf{X}][\mathsf{Y}] = k_{\text{obs}}[\text{PtL}_{3}\mathsf{X}]$  (in condizioni di pseudo primo ordine, largo eccesso di Y, [Y] costante)  $k_{\text{obs}} = k_{1} + k_{2}[\mathsf{Y}]$ 

$$v = -d[PtL_3X]/dt = k_3[PtL_3X][S] + k_2[PtL_3X][Y]$$

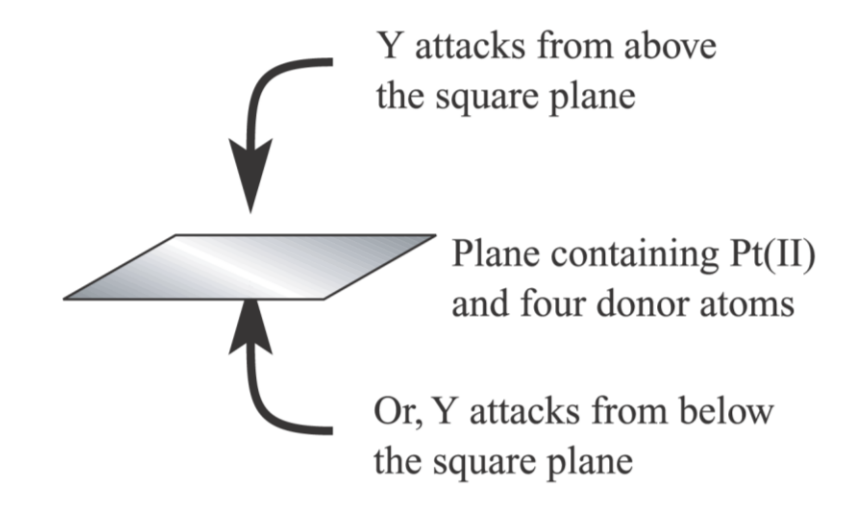
$$k_1 = k_3[S]$$

 $k_1$  e  $k_2$  diminuiscono al crescere dell'ingombro sterico sia di Y che di L



 $k = 8 \times 10^{-2} \text{ s}^{-1} \text{ per L} = \text{py}$  $k = 1.0 \times 10^{-6} \text{ s}^{-1} \text{ per L} = 2,6\text{-dimetilpiridina}$ 

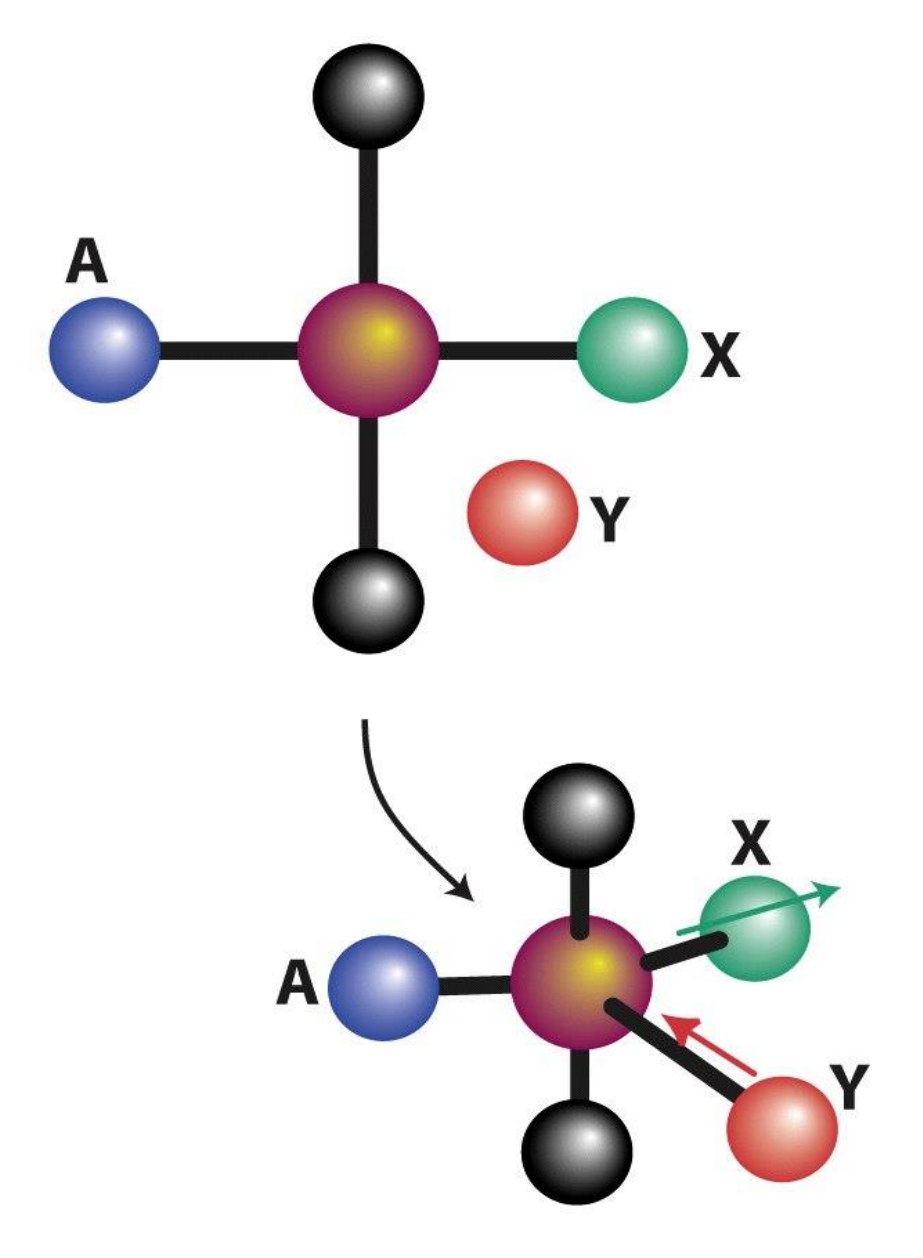
## Ritenzione di configurazione



$$L^{2} \xrightarrow{Pt} X \xrightarrow{Y} L^{2} \xrightarrow{Pt} X \xrightarrow{Y} L^{2} \xrightarrow{Pt} Y$$

$$L^{3} \xrightarrow{Y} L^{2} \xrightarrow{Pt} X$$

$$L^{3} \xrightarrow{Y} L^{2} \xrightarrow{Pt} X$$



Effetto *trans*: è l'effetto che ha il legante in *trans* al gruppo uscente sulla sua velocità di sostituzione (i.e.: grande effetto *trans* = alta velocità di sostituzione).

Di conseguenza, in un complesso planare-quadrato la scelta del gruppo uscente – e quindi la natura del prodotto – è determinata in buona parte anche dalla natura del legante che gli sta in *trans* (se la sostituzione avviene sotto controllo cinetico).

Table 20.6 The effect of the *trans* ligand in reactions of *trans*-
[PtCl(PEt<sub>3</sub>)<sub>2</sub>L] Cl<sup>-</sup>

L 
$$k_1/s^{-1}$$
  $k_2/(dm^3 mol^{-1} s^{-1})$ 

CH<sub>3</sub> 1.7 × 10<sup>-4</sup> 6.7 × 10<sup>-2</sup>

C<sub>6</sub>H<sub>5</sub> 3.3 × 10<sup>-5</sup> 1.6 × 10<sup>-2</sup>

Cl<sup>-</sup> 1.0 × 10<sup>-6</sup> 4.0 × 10<sup>-4</sup>

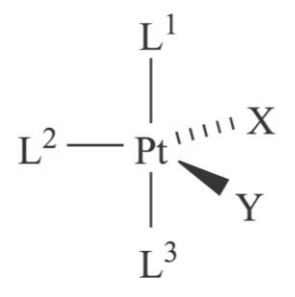
H<sup>-</sup> 1.8 × 10<sup>-2</sup> 4.2

PEt<sub>3</sub> 1.7 × 10<sup>-2</sup> 3.8

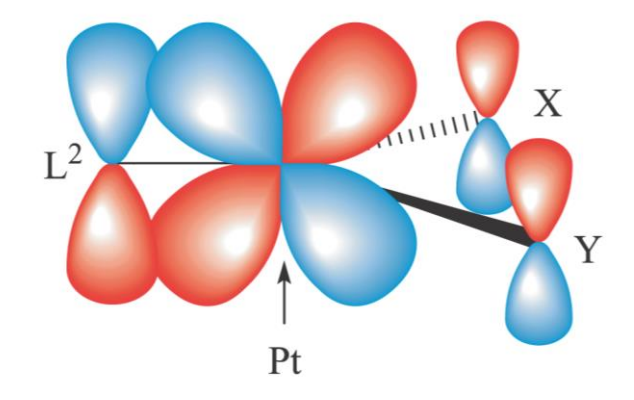
 $H_2O \approx OH^- \approx NH_3 \approx py < Cl^- < Br^- < l^- \approx NO_2^- < Ph^- < Me^- < PR_3 \approx H^- « CO ≈ CN^-$ 

Sequenza sperimentale di effetto trans

#### Effetto-trans: contributo cinetico



Trigonal bipyramidal transition state or intermediate



 $\pi$ -Bonding in the trigonal plane

nei complessi planari quadrati si ha (spesso) ritenzione di configurazione perché le sostituzioni avvengono (di solito) sotto controllo cinetico e l'intermedio (o stato di transizione) pentacoordinato che porta a ritenzione di configurazione è quello più stabile, cioè con l'energia di attivazione minore per la sua formazione, e non ha un tempo di vita sufficientemente lungo per riarrangiare (cioè il successivo stadio dissociativo è veloce)

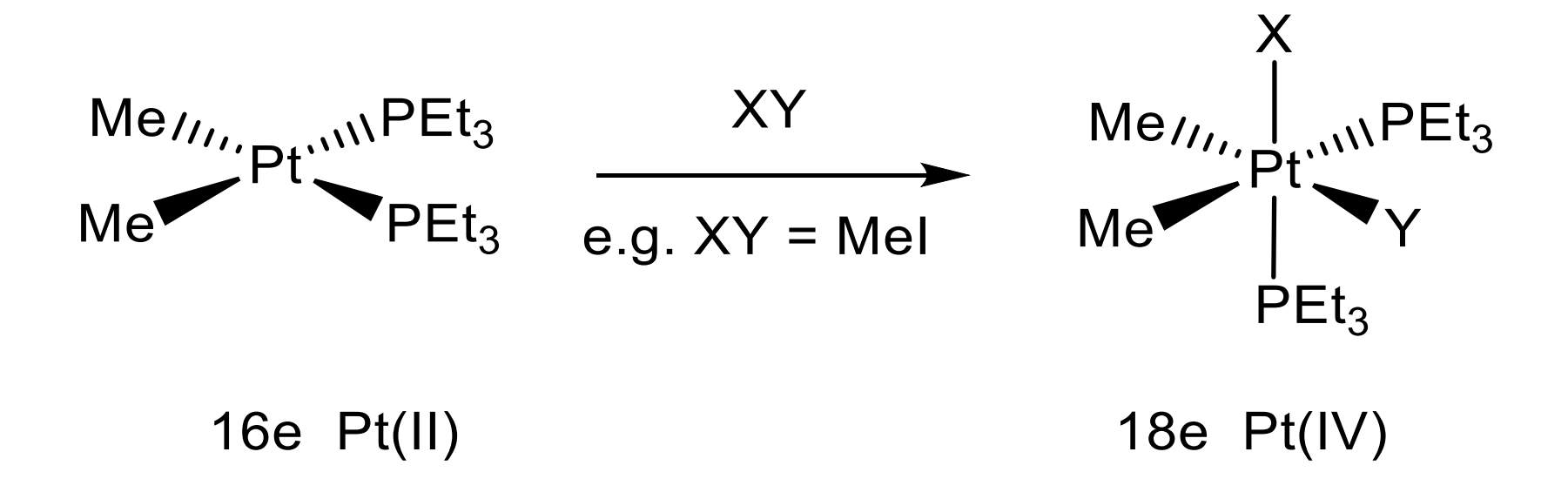
# Sequenza di nucleofilicità del gruppo entrante $k_2$ : $H_2O < NH_3 \approx Cl^- < py < Br^- < l^- < CN^- < PR_3$

$$trans$$
-[PtCl<sub>2</sub>(py)<sub>2</sub>] + Y  $\rightarrow trans$ -[PtCl(L)(py)<sub>2</sub>] + Cl<sup>-</sup>

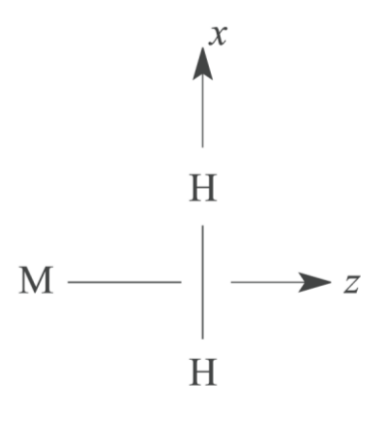
Nucleophile	Donor atom	n <sub>Pt</sub>
Cl <sup>-</sup>	Cl	3.04
I <sup>-</sup>	1	5.42
$CN^-$	С	7.00
CH <sub>3</sub> OH	0	0
C <sub>6</sub> H <sub>5</sub> SH	S	4.15
NH <sub>3</sub>	N	3.06
$(C_6H_5)_3P$	Р	8.79

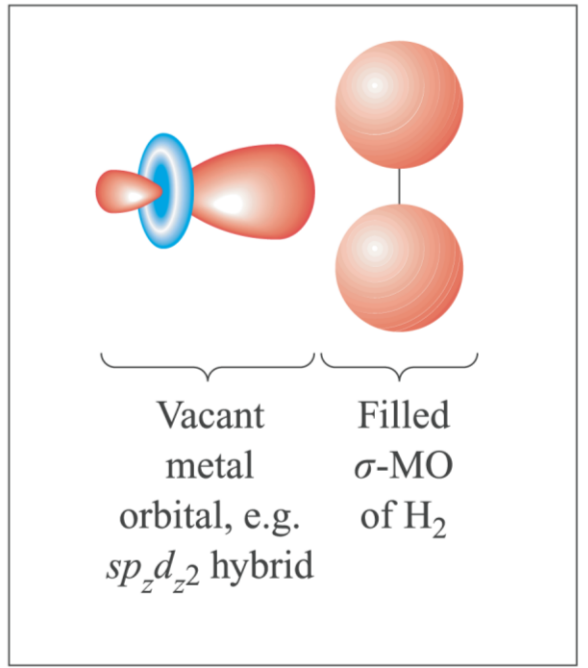
parametro di nucleofilicità:  $n_{Pt} = \log k_2/k'_2$  (MeOH)  $n_{Pt}$  non correla con la basicità di Brönsted di Y

### Addizione ossidativa

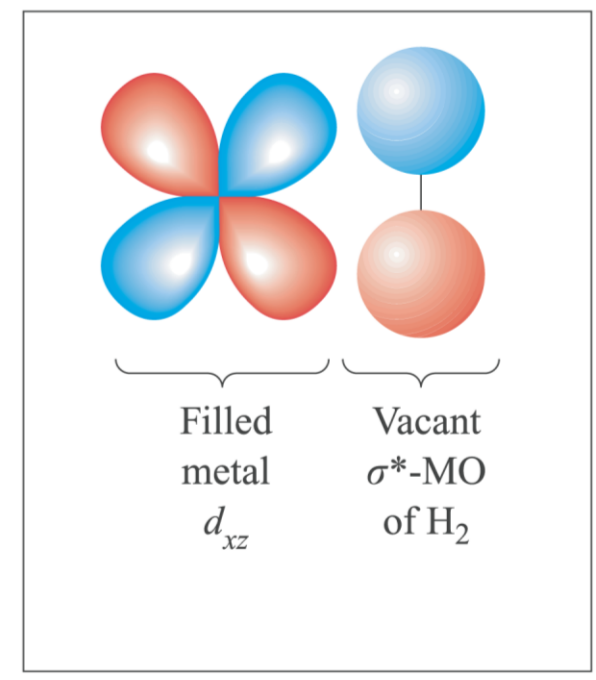


la reazione del magnesio per formare un reattivo di Grignard è una addizione ossidativa



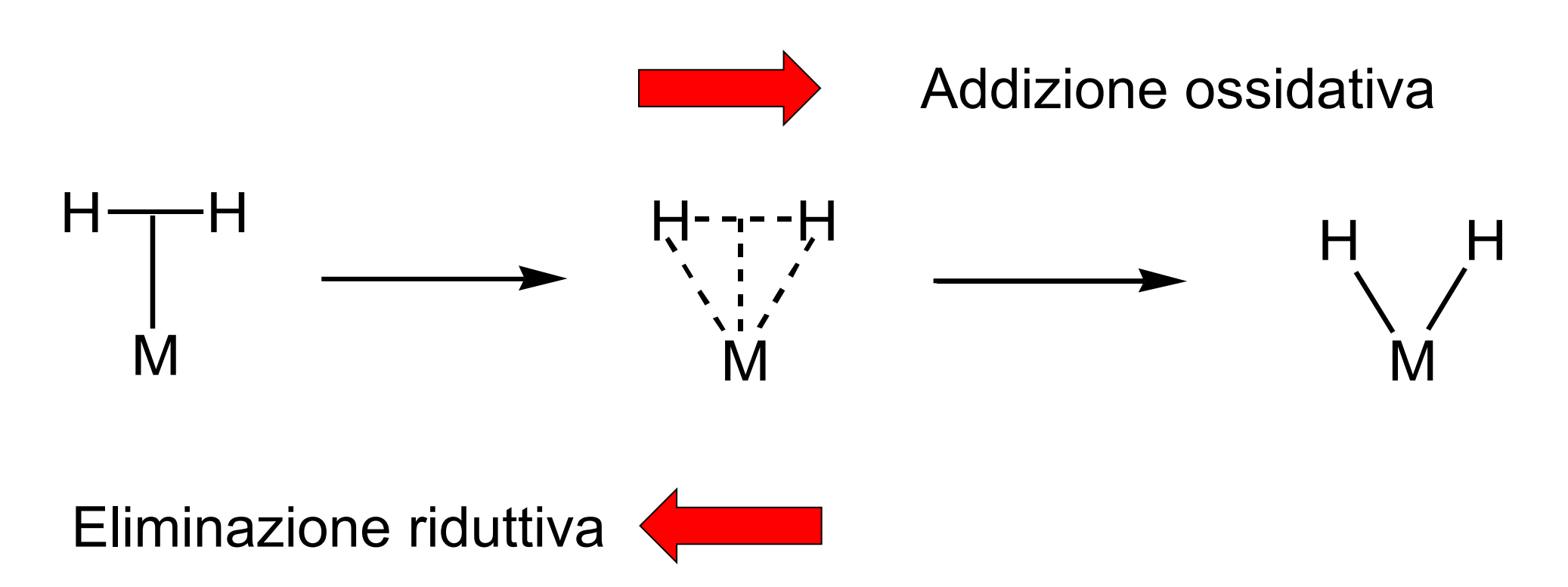


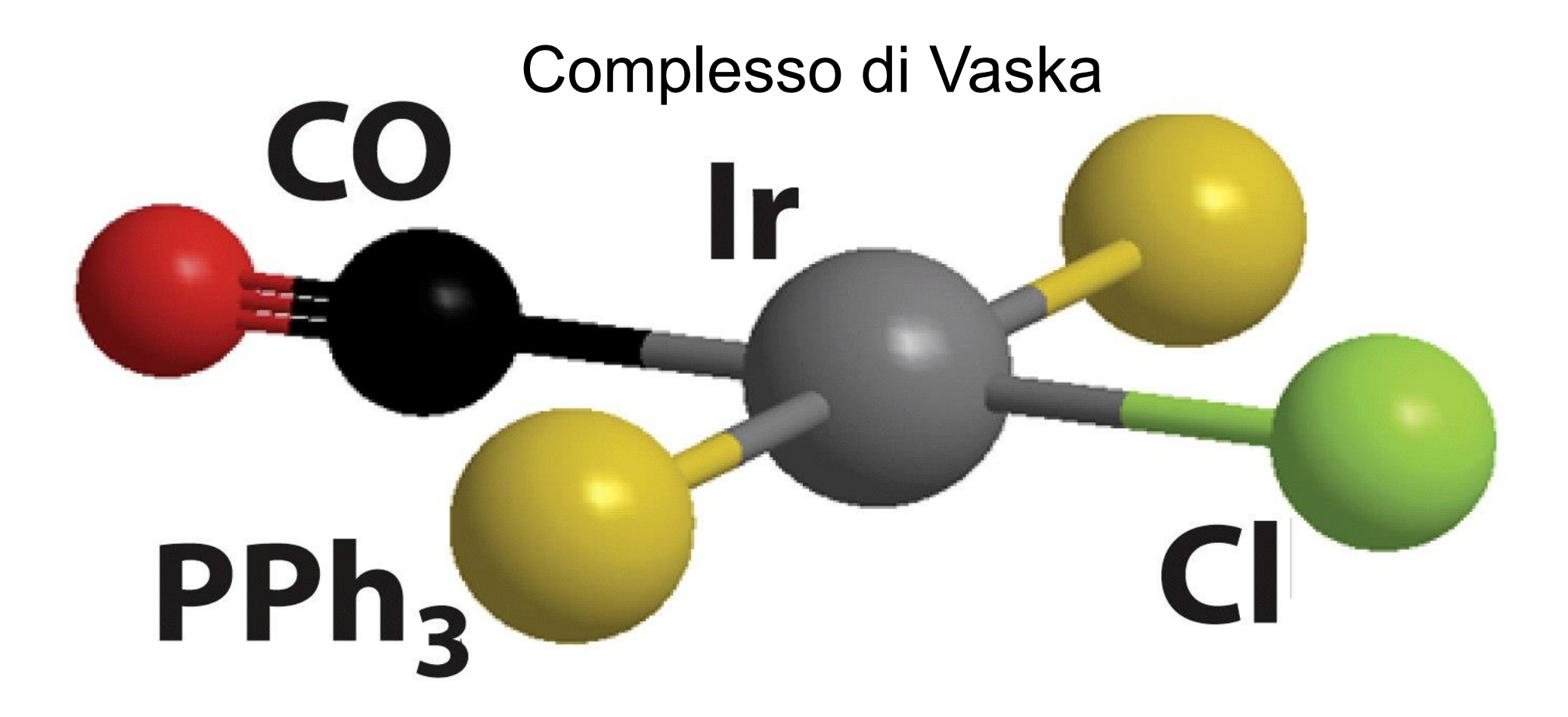
H<sub>2</sub>-to-M donation



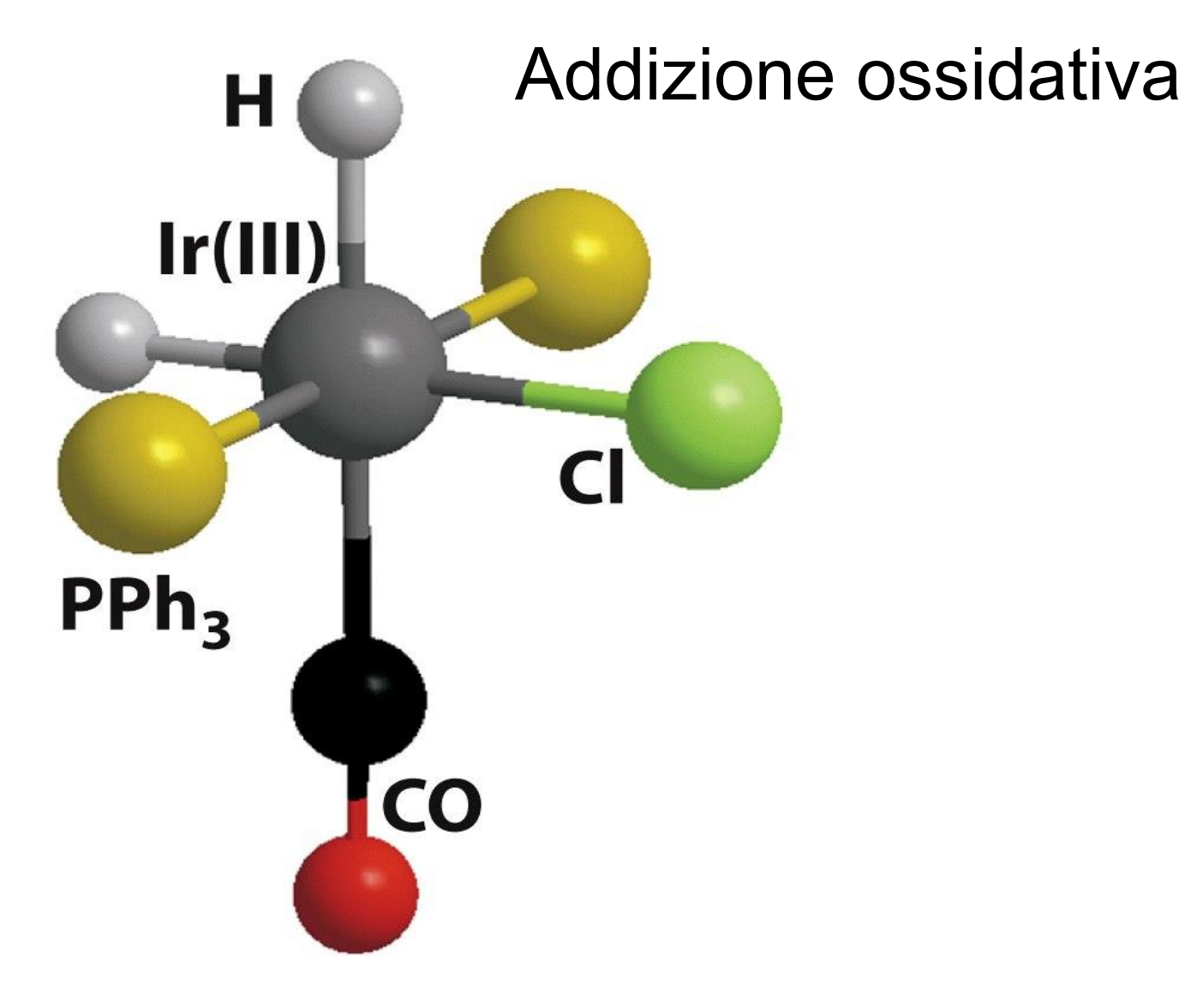
M-to-H<sub>2</sub> back-donation

#### L'addizione ossidativa di H<sub>2</sub> è una reazione concertata





[IrClCO(PPh<sub>3</sub>)<sub>2</sub>]



[IrCl(H)<sub>2</sub>CO(PPh<sub>3</sub>)<sub>2</sub>]